

# 順序回路自動設計システムにおける状態割当てについて

STATE ASSIGNMENT APPLIED TO THE AUTOMATIC DESIGN SYSTEM FOR SEQUENTIAL MACHINES

吉川 良一

Ryoichi Yoshikawa

相磯 秀夫

Hideo Aiso

所 真理雄

Mario Tokoro

慶應義塾大学

Keio Univ. Department of Engineering

This paper describes a method to solve the state assignment problem of asynchronous sequential machines, which is applied to the Automatic Design System for Sequential Machines now developed by the authors. The method is based on the idea proposed by Saucier<sup>1)</sup>, who has formulated the problem in graph theoretic terms of embedding graph into  $n$ -cube, where the weight associated with edge is used to decrease the transition time. However, the method introduces a new algorithm associated with the determination of weight, which employs transition probability via edge. Since the algorithm gives an adequate weight, the method improves the quality of design.

## 1. 緒言

非同期式順序回路の状態割当てをするアルゴリズムの一つが Saucier<sup>1)</sup> により示されている。それは、状態を vertex、1 bit の状態遷移を edge に対応させ、グラフとして扱うことにより totally sequential な状態割当てを実現している。我々が開発中の順序回路自動設計システムは、状態割当てにこのアルゴリズムを採用している。

グラフとして考えると、状態割当ては、2 進数に対応した  $n$ -cube 内の vertex に各状態の対応づけをすることである。特に totally sequential な場合は、遷移が常に 1 bit ずつであるので、状態の遷移はグラフ上の edge をたどりながら行なわれると考えられる。そこで Saucier は、この状態割当てを、重みのついた edge を  $n$ -cube に埋め込む問題として扱い、これをもとに状態遷移の道を選定している。

本論文は、このアルゴリズムを実現する上でのいくつかの問題点を指摘している。その主なものは

- i) Saucier により示された重みのつけかたでは、実際的でない場合が存在する。
- ii) 重みのついたグラフを  $n$ -cube に埋め込むアルゴリズムの最適化に関する考察がない。

である。ここでは Saucier により示された重みのつけかたを改善するために、edge を遷移する確率から重みを与えることを提案し、その大きさを求めるアルゴリズムを示し、その正当性を論じる。

## 2. Saucier のアルゴリズム

### 2.1 グラフで考えた場合の critical race free

各状態を vertex, 1 bit の遷移を edge で表わし, グラフとして考える。この場合, 状態遷移はグラフ上の edge をたどりながら行なわれると考えられる。ここで,

Saucier と同様の定義を導入すると,

$S_i \in S$  : 状態

$I_j \in I$  : 入力

$\delta(S_i, I_j)$  : 入力  $I_j$  による遷移で,  $S_i$  から到達する安定状態を示す関数 ( $\delta(S_i, I_j) = S_i$  のとき,  $S_i$  は安定状態)

$S_{I_j}$  :  $\delta(S_i, I_j)$  の定義されている  $S$  の部分集合  
 $S_{I_j} \subseteq S$

$\Pi_i = (B_{i1}, \dots, B_{ij}, \dots)$ : 入力  $I_i$  による状態の分割  
ここで分割された各ブロック:  $B_{ij}$  は次の条件をみたすような状態の集合である

$$S_1, S_2 \in B_{ij} \iff \delta(S_1, I_i) = \delta(S_2, I_i)$$

$$B_{ij} \subseteq S_{I_i}$$

$I(B_{ij})$  :  $B_{ij}$  に対応した  $n$ -cube 内の vertex

$G_{ij}$  :  $B_{ij}$  に対応する  $n$ -cube の subgraph

このとき, 次の条件をみたすとき, critical race のない (totally sequential な) 状態割当てが実現できる (状態遷移の道を指定することができる)。

i)  $I(B_{ij}) \subseteq \{\text{vertices of } G_{ij}\}$

ii)  $G_{ij}$  : connected graph

iii)  $G_{ij} \cap G_{ik} = \emptyset \iff j \neq k$

ここで,

$$X_{ij} = \{\text{vertices of } G_{ij}\} - I(B_{ij})$$

$X_{ij}$  : 補足の vertex

$\delta(S_i, I_j)$  の定義されていない状態に対応した vertex が,  $X_{ij}$  として使われる。

## 2.2 状態割当てのアルゴリズム

Saucier は, 次のような 2 段階からなるアルゴリズムによって状態割当てを実現している。

(1) 各状態を最小の  $n$ -cube 内に遷移時間が短くなるように配置する。

ここでは, edge に遷移時間が短くなるような重みをつけ, 重みの大きなグラフを最小の  $n$ -cube 内に実現することでこれを行なっている。

(2) ブロック内の各状態から安定状態まで状態が遷移する道を指定する。

ここで行なうことは, 条件をみたすような subgraph:  $G_{ij}$  を決定することに他ならないが, ここではブロックごとに可能な道をすべて調べてこれを行なっている。このとき, 条件は

i), ii) ブロックに属するすべての vertex は道でつながれている。

iii) ブロック内の状態遷移として指定される道は, 他のブロックの道と交わってはいけない。

という意味になる。

## 2.3 問題点

(1) 重みのつけかた

Saucier は,  $B_{ij} = (\mathcal{X}_0, \mathcal{X}_1, \dots, \mathcal{X}_n)$  があるとき, edge  $(\mathcal{X}_a, \mathcal{X}_b)$ ,  $0 \leq a \leq n, 0 \leq b \leq n, a \neq b$  を

考え、次のような重みをつけている。(  $edge(x_a, x_b) \equiv edge(x_b, x_a)$  は、  $edge(I(x_a), I(x_b))$  を表わしている。) ここで、  $B_{ij}$  の  $n$  個組の左端に書かれるものが安定状態であると約束する。

$$f_i(x_a, x_b) = \begin{cases} w_1 \dots B_{ij} = (x_a, x_b) & \text{のとき} \\ w_2 \dots B_{ij} = (x_a, x_b, x_c, \dots) & \text{のとき} \\ w_3 \dots B_{ij} = (x_z, x_a, x_b, \dots) & \text{のとき} \end{cases}$$

ただし、  $w_1 > w_2 > w_3$  (定数)

このとき、  $edge(x_a, x_b)$  の重みは各入力について総和をとり

$$F_w(x_a, x_b) = \sum_{I_i} f_i(x_a, x_b) \quad \text{-----} \quad (1)$$

として計算される。

しかしながら、上で示したような重みのつけかたでは、  $w_2, w_3$  が  $B_{ij}$  の要素の数にかかわらず一定であるために、実際的でない場合が生じている。Saucier は例として、  $w_1=3, w_2=2, w_3=1$  という値を示しているが。

$$B_{ij} = (x_a, x_b) \\ \begin{cases} B_{knp} = (x_0, x_1, x_2, \dots, x_{nkp}) \\ B_{lp} = (x_0, x_1, x_2, \dots, x_{nlp}) \\ B_{mp} = (x_0, x_1, x_2, \dots, x_{nmp}) \end{cases}$$

があるとき、  $F_w(x_a, x_b) = F_w(x_1, x_2)$  ということになる。しかし、  $n_{kp}, n_{lp}, n_{mp} \gg 1$  のとき  $edge(x_1, x_2)$  を実現することは、  $edge(x_a, x_b)$  に比べてほとんど意味がないことであり、ある  $n_{kp}, n_{lp}, \dots$  に対して  $w_3$  の大きさをどの程度にするのが良いか問題となる。また同様に

$$B_{ij} = (x_a, x_b) \\ \begin{cases} B_{knp} = (x_1, x_2, \dots, x_{nkp}) \\ B_{lp} = (x_1, x_2, \dots, x_{nlp}) \end{cases}$$

があるとき、  $F_w(x_a, x_b) < F_w(x_1, x_2)$  となる。しかし、  $n_{kp}, n_{lp} \gg 1$  のとき  $edge(x_1, x_2)$  を実現するという意味は薄くなり、  $F_w(x_a, x_b) < F_w(x_1, x_2)$  は実際的ではない。やはりここでも、ある  $n_{kp}, n_{lp}, \dots$  に対して、  $w$  を基準とした  $w_3$  の大きさがどうあるべきか問題となる。しかし、Saucier は  $w_1, w_2, w_3$  の値については例を示したに留まり、具体的にどのような値を与えるべきかということには触れていない。

以上のようなことから、ここでは  $w_2, w_3$  を  $B_{ij}$  の要素の数:  $n_{ij}$  の関数とし、  $w_1, w_2, w_3$  の値を  $n_{ij}$  の関数として決定するためのアルゴリズムについて以下の章で考察を行なう。

## (2) 最大の重みをもつグラフを実現するアルゴリズム

このアルゴリズムは、  $edge$  の集まりとして構成されるグラフの中から、決められた最小の  $n$ -cube に埋め込むことができ、かつ、最大の重みをもつグラフを選ぶだけアルゴリズムのことである。しかし、構成されるすべてのグラフについて重みを計算し、すべての埋め込みの可能性を調べるようなアルゴリズムは、処理時間の点で問題がある。最大の重みをもつという条件はそれほど厳密なものではなく、計算時間との兼ねあいで適当なところで妥協することになるが、これを行なうためには、そのアルゴリズムが最終的にどの程度良い結果を与えるかを知る必要がある。しかし、それを知るためには、実際にシステムに組み入れて、多くの

データについて結果を調べる必要がある。

現在は、処理時間がある程度増すことになるが、Saucierのアルゴリズムに判断の数を増し、少し複雑にすることを考えている。この点については、現在考察中でありいずれ発表する予定である。

### 3. 重みのつけかた

#### 3.1 重みの意味

重みをつけるのは、遷移時間が短くなるように各状態を  $n$ -cube の vertex に割当てたためである。その意味から、重みに対する必要条件としては次のようなことが考えられる。

i) 重みの大きな edge を direct transition で実現した場合、全体としての遷移時間が短くなる。

ii) 上記の場合、重みの大きさは線形（グラフの重みの総和の順序関係と、全体としての遷移時間の短かさの順序関係が等しい）か、それに近いこと。

また、重みを定式化する考えかたとしては、次のようなものがある。

i) その edge を direct transition で実現した場合に、全体の遷移時間に与える影響を数値で表わす。

ii) 状態割当てを実現した場合に、その edge を遷移する確率の大きさを重みとする。

iii) その他、力学的なモデルによる方法。

この中で、確率として考えた場合に最も良い結果が得られたので、以下に順を追って述べることにする。

#### 3.2 edge $(X_a, X_b)$ を遷移する確率

はじめに、状態遷移は一様であり、各内部状態をとる確率は一定であり、同様に各入力の生起確率も一定であると仮定する。

重みを、edge を遷移する確率と考える場合に、edge:  $E = \{e_1, e_2, \dots, e_m\}$  についてそれぞれの edge を遷移する確率を  $P(e_1), P(e_2), \dots, P(e_m)$  とすれば、全体としての平均遷移時間は、

$$T = \Delta t \cdot \sum_{i=1}^m P(e_i) \quad \text{-----} \quad (2)$$

$\Delta t$ : 1 遷移時間

として表わされる。すなわち、edge を遷移する確率は、前節で考えた重みとしての必要条件 i), ii) を間接的に満たしている。

(1)  $B_{ij} = (X_a, X_b, \dots, X_{n_{ij}})$  であるとき、入力  $I_i$  による遷移で edge  $(X_a, X_b)$  を通る確率は、

$$P_0(n_{ij}) = \frac{1 + \frac{1}{N_0}(n_{ij} - 1)}{n_{ij}} \quad \text{-----} \quad (3)$$

となる。ただし、 $N_0$  は状態変数の数である。

(2)  $B_{ij} = (X_0, X_a, X_b, \dots, X_{n_{ij}})$  であるとき、

$f_n(n_{ij})$ :  $I(X_0)$  と  $I(X_i)$ ,  $1 \leq i \leq n$  の平均距離 (ハミングの距離)。

$r$ : ハミングの距離。

$f_n(r)$ :  $N_0$ -cube の vertex が、ある基準の vertex からどのような距離に分布するかを示す関数。

$f_x(r) : I(x_i) \in I(B_{ij}), 0 \leq i \leq n$  が  $I(x_0)$  からどのような距離に分布するかを示す関数。

とすると、 $I(x_a)$  が  $I(x_0)$  から平均距離:  $\bar{r} = f_x^{-1}(n_{ij})$  にあると考え、 $I(x_a)$  より遠くにある  $I(x_i) \in I(B_{ij})$  の数は

$$\int_{\bar{r}}^{N_0} f_x(r) dr \quad \text{————— (4)}$$

となる。さらに、そのうちで  $1/f_x(\bar{r})$  が  $x_a$  を通る ( $x_i \in B_{ij}$  から  $x_0$  への遷移で通る) と考えれば、すべての  $x_i \in B_{ij}$  について1回ずつ、 $x_0$  に向かって遷移が起ることに  $x_a$  を通る数は、

$$\frac{1}{f_x(\bar{r})} \cdot \int_{\bar{r}}^{N_0} f_x(r) dr \quad \text{————— (5)}$$

となる。

次に、 $I(x_a)$  から後につながっている edge の数は  $N_0 - \bar{r}$  で、そのうち  $I(x_a)$  から  $I(x_i) \in I(B_{ij})$  につながっているものは  $f_x(\bar{r})/f_x(\bar{r})$  である。そこで、 $I(x_a)$  から 1 distance 後の  $I(x_i) \in I(B_{ij})$  につながっている edge の数は

$$\frac{f_x(\bar{r})}{f_x(\bar{r})} (N_0 - \bar{r})$$

となり、言い換えると  $x_a$  を通るもののうち

$$\frac{1}{N_0 - \bar{r}} \cdot \frac{f_x(\bar{r})}{f_x(\bar{r})} \quad \text{————— (6)}$$

が  $x_b$  を通ることになる。そこで、 $x_a, x_b$  を通る数は

$$\begin{aligned} & \frac{1}{N_0 - \bar{r}} \cdot \frac{f_x(\bar{r})}{f_x(\bar{r})} \cdot \frac{1}{f_x(\bar{r})} \cdot \int_{\bar{r}}^{N_0} f_x(r) dr \\ &= \frac{1}{(N_0 - \bar{r}) \cdot f_x(\bar{r})} \cdot \int_{\bar{r}}^{N_0} f_x(r) dr \end{aligned} \quad \text{————— (7)}$$

ということになる。

上式から、 $x_a, x_b$  を通る確率は

$$P_i(n_{ij}) = \frac{1}{n_{ij} (N_0 - \bar{r}) \cdot f_x(\bar{r})} \cdot \int_{\bar{r}}^{N_0} f_x(r) dr \quad \text{————— (8)}$$

となる。

さらに、入力  $I_i$  に対して edge  $(x_a, x_b)$  を通る確率を

$$P_i(x_a, x_b) = \frac{\sum_{B_{ij} \subseteq I_i} n_{ij} \cdot P(n_{ij})}{\sum_{B_{ij} \subseteq I_i} n_{ij}} \quad \text{————— (9)}$$

ただし、 $B_{ij} = (x_0, x_1, \dots, x_{n_{ij}})$  において

$$P(n_{ij}) = \begin{cases} P_0(n_{ij}) & \dots x_a \text{ または } x_b \text{ が安定状態のとき} \\ P_i(n_{ij}) & \dots x_a, x_b \text{ が不安定状態のとき} \\ 0 & \dots x_a, x_b \text{ が同時に含まれる } B_{ij} \text{ がないとき} \end{cases}$$

として表わすと、すべての入力に対して edge  $(x_a, x_b)$  を通る (遷移する) 平均の確率は

$$P(x_a, x_b) = \frac{\sum_{i=1}^m P_i(x_a, x_b)}{m} \quad \text{————— (10)}$$

となる。ただし、 $m$  は入力の数である。

3.3  $B_{ij} = (X_0, X_1, \dots, X_{N_{ij}})$  における平均距離:  $f_A(n_{ij})$

(1)  $f_n(r)$ :  $N_0$ -cube の vertex の分布関数

確率密度関数としての 2 項分布を正規分布で近似する。すなわち、2 項分布

$$b(x) = \binom{n}{x} \cdot \theta^x \cdot (1-\theta)^{n-x} \quad \text{————— (11)}$$

について、確率変数:  $X$  の分布は十分に大きい  $n$  に対して近似的に正規分布  $N(n\theta, n\theta(1-\theta))$  に等しくなり、この方法を用いて 2 項分布の確率の和を、正規分布の適当な積分で計算できる。

2 項分布を正規分布で近似すると

$N(n\theta, n\theta(1-\theta))$ :

$$f(x) = \frac{1}{\sqrt{n\theta(1-\theta)}\sqrt{2\pi}} e^{-\frac{1}{2n\theta(1-\theta)}(x-n\theta)^2} \quad \text{————— (12)}$$

となり、 $N_0$ -cube の場合を考えると、 $\theta = \frac{1}{2}$ ,  $x = r$ ,  $n = N_0$  であるので

$$f(r) = \sqrt{\frac{2}{N_0\pi}} \cdot e^{-\frac{2}{N_0}(r-\frac{N_0}{2})^2} \quad \text{————— (13)}$$

となる。

上記  $f(r)$  は、 $N_0$ -cube の vertex の確率密度関数を表わす。そこで、vertex の分布は、

$$\begin{aligned} f_n(r) &= 2^{N_0} \cdot f(r) \\ &= 2^{N_0} \sqrt{\frac{2}{N_0\pi}} e^{-\frac{2}{N_0}(r-\frac{N_0}{2})^2} \quad \text{————— (14)} \end{aligned}$$

となる。

(2)  $f_X(r)$ :  $I(B_{ij})$  の分布関数

$B_{ij} = (X_0, X_1, \dots, X_{N_{ij}})$  に属する vertex は、安定状態に対応した  $I(X_0)$  の付近に多く分布することを予想して減衰関数を考える。

ここでは、減衰関数を  $e^{-Kr^2}$  と仮定する。そうすると vertex:  $I(B_{ij})$  の分布は

$$\begin{aligned} f_X(r) &= e^{-Kr^2} \cdot 2^{N_0} \sqrt{\frac{2}{N_0\pi}} \cdot e^{-\frac{2}{N_0}(r-\frac{N_0}{2})^2} \\ &= 2^{N_0} \sqrt{\frac{2}{N_0\pi}} \cdot e^{-(K+\frac{2}{N_0})r^2 + 2r - \frac{N_0}{2}} \quad \text{————— (15)} \end{aligned}$$

ここで、 $K + \frac{2}{N_0} = \alpha$  とおくと

$$\begin{aligned} f_X(r) &= 2^{N_0} \sqrt{\frac{2}{N_0\pi}} \cdot e^{-\alpha r^2 + 2r - \frac{N_0}{2}} \\ &= 2^{N_0} \sqrt{\frac{2}{N_0\pi}} \cdot e^{\frac{1}{\alpha} - \frac{N_0}{2}} \cdot e^{-\alpha(r-\frac{1}{\alpha})^2} \quad \text{————— (16)} \end{aligned}$$

となる。また、このときの定数  $K$  の値は

$$\int_{-\infty}^{\infty} f_X(r) dr = N_{ij} + 1 \quad \text{————— (17)}$$

から得られる。ここで、積分の範囲は本来  $0 \sim N_0$  であるが、2 項分布を正規分布で近似したときに

$$\int_0^{N_0} f_X(r) dr \simeq \int_{-\infty}^{\infty} f_X(r) dr \quad \text{————— (18)}$$

という仮定が含まれているので、 $-\infty \sim +\infty$  へ拡張した。その結果、積分公式

$$\int_0^{\infty} e^{-A^2 x^2} dx = \frac{\sqrt{\pi}}{2A} \quad \text{--- (19)}$$

が使える。

$$\int_{-\infty}^{\infty} f_x(r) dr = 2^{N_0} \cdot \sqrt{\frac{2}{N_0 \pi}} \cdot e^{\frac{1}{\alpha} - \frac{N_0}{2}} \cdot \int_{-\infty}^{\infty} e^{-a(r - \frac{1}{\alpha})^2} dr \quad \text{--- (20)}$$

公式から

$$\int_{-\infty}^{\infty} e^{-a(r - \frac{1}{\alpha})^2} dr = \sqrt{\frac{\pi}{a}} \quad (\alpha = k + \frac{2}{N_0} > 0) \quad \text{--- (21)}$$

$$\begin{aligned} \therefore \int_{-\infty}^{\infty} f_x(r) dr &= 2^{N_0} \cdot \sqrt{\frac{2}{N_0 a}} \cdot e^{\frac{1}{\alpha} - \frac{N_0}{2}} \\ &= n_{ij} + 1 \end{aligned} \quad \text{--- (22)}$$

式を変形すると

$$\frac{1}{a} - \frac{1}{2} \log a = \frac{N_0}{2} + \log \frac{n_{ij} + 1}{2^{N_0}} \cdot \sqrt{\frac{N_0}{2}} \quad \text{--- (23)}$$

実際に数値を求めるためには、上式を利用し、逐次近似法を用いて  $\alpha = k + \frac{2}{N_0}$  を求める。

(3)  $f_x(n_{ij})$  : 平均距離

$$\begin{aligned} \bar{r} &= f_x(n_{ij}) = \frac{1}{n_{ij}} \cdot \int_{-\infty}^{\infty} r \cdot f_x(r) dr \\ &= \frac{2^{N_0}}{n_{ij}} \cdot \sqrt{\frac{2}{N_0 \pi}} \cdot e^{\frac{1}{\alpha} - \frac{N_0}{2}} \cdot \int_{-\infty}^{\infty} r \cdot e^{-a(r - \frac{1}{\alpha})^2} dr \end{aligned} \quad \text{--- (24)}$$

ここで、

$$\begin{aligned} &\int_{-\infty}^{\infty} r \cdot e^{-a(r - \frac{1}{\alpha})^2} dr \\ &= \int_{-\infty}^{\infty} (t + \frac{1}{\alpha}) e^{-at^2} dt \quad (t = r - \frac{1}{\alpha}) \\ &= \frac{1}{a} \int_{-\infty}^{\infty} e^{-at^2} dt = \sqrt{\frac{\pi}{a^3}} \end{aligned} \quad \text{--- (25)}$$

であるから、平均距離は

$$f_x(n_{ij}) = \frac{2^{N_0}}{n_{ij}} \cdot \sqrt{\frac{2}{N_0 a^3}} \cdot e^{\frac{1}{\alpha} - \frac{N_0}{2}} \quad \text{--- (26)}$$

$f_x(n_{ij})$  の値は、図1のようになる。

3.4 edge( $x_a, x_b$ ) を通る確率:  $P_i(n_{ij})$

3.2節において、edge( $x_a, x_b$ ) を通る確率:  $P_i(n_{ij})$  は次式のように与えられた。

$$P_i(n_{ij}) = \frac{1}{n_{ij} (N_0 - \bar{r}) \cdot f_x(\bar{r})} \cdot \int_{\bar{r}}^{N_0} f_x(r) dr \quad \text{--- (8)}$$

上式において

$$\int_{\bar{r}}^{N_0} f_x(r) dr \simeq \frac{n_{ij}}{2} \quad \text{--- (27)}$$

と考えると、(16)式を代入して

$$P_i(n_{ij}) = \frac{1}{n_{ij} (N_0 - \bar{r}) \cdot 2^{N_0} \sqrt{\frac{2}{N_0 \pi}} \cdot e^{\frac{1}{\alpha} - \frac{N_0}{2}} \cdot e^{-a(\bar{r} - \frac{1}{\alpha})^2}} \cdot \frac{n_{ij}}{2}$$

$$= \frac{1}{2^{N_0+1} \cdot (N_0 - \bar{r})} \cdot \sqrt{\frac{N_0 \pi}{2}} \cdot e^{-\frac{1}{\alpha} + \frac{N_0}{2}} \cdot e^{\alpha(\bar{r} - \frac{1}{\alpha})^2} \quad (28)$$

となる。

結果として、 $B_{ij} = (X_0, X_1, \dots, X_{N_{ij}})$  において  $\text{edge}(X_a, X_b)$  を通る確率は

i)  $X_a$  または  $X_b$  が安定状態のとき

$$P_0(N_{ij}) = \frac{1 + (N_{ij} - 1)/N_0}{N_{ij}} \quad (3)$$

ii)  $X_a, X_b$  が不安定状態のとき

$$P_1(N_{ij}) = \frac{1}{2^{N_0+1} \cdot (N_0 - \bar{r})} \cdot \sqrt{\frac{N_0 \pi}{2}} \cdot e^{-\frac{1}{\alpha} + \frac{N_0}{2}} \cdot e^{\alpha(\bar{r} - \frac{1}{\alpha})^2} \quad (28)$$

ここで

$$\bar{r} = f_{\bar{r}}(N_{ij}) = \frac{2^{N_0}}{N_{ij}} \cdot \sqrt{\frac{2}{N_0 \alpha^3}} \cdot e^{\frac{1}{\alpha} - \frac{N_0}{2}} \quad (26)$$

また、 $\alpha = K + \frac{2}{N_0}$  の値は次式から定められる。

$$\frac{1}{\alpha} - \frac{1}{2} \log \alpha = \frac{N_0}{2} + \log \frac{N_{ij} + 1}{2^{N_0}} \cdot \sqrt{\frac{N_0}{2}} \quad (23)$$

$P_0(N_{ij}), P_1(N_{ij})$  の値は、図2のようになる。

### 3.5 数値計算の結果

図1, 図2の値は、 $N_0$  をパラメータとして BASIC を用いて計算を行なった。ここで、 $\alpha$  の値は(23)式を利用し、ニュートン法を用いて求めた。

Saucierにより示された重みは、グラフにおける各点の平均として、次式のように表わすことができる。

$$W_1 = P_0(1) \quad (29)$$

$$W_2 = \frac{\sum_{i=2}^n P_0(i)}{n-2} \quad (30)$$

$$W_3 = \frac{\sum_{i=2}^n P_1(i)}{n-2} \quad (31)$$

(ここで、 $n$  は平均する  $N_{ij}$  の上限であるが、これは現われる  $N_{ij}$  の範囲で適当に選ぶ。)

図2を見ると、 $W_3$  として平均される各点は  $B_{ij}$  の要素の数:  $N_{ij}$  に対して大きな変化は見られない。しかし、 $W_2$  として平均される各点は、その値

が大きくなり変化していて、平均値と実際の値との差がかなり大きくなっている。このことから、 $W_2$  に関しては2.3節で問題点として取り上げた、 $N_{ij}$  による変化というのは特に問題にする必要がないことがわかるが、特に  $W_2$  に関して、Saucierによる重みのつけかたは、大きく変化する重みを、平均的な一つの定数で表わそうとしていることが明らかとなった。そこで、 $W_2$  に関しては  $N_{ij}$  の大きさをいっつかの

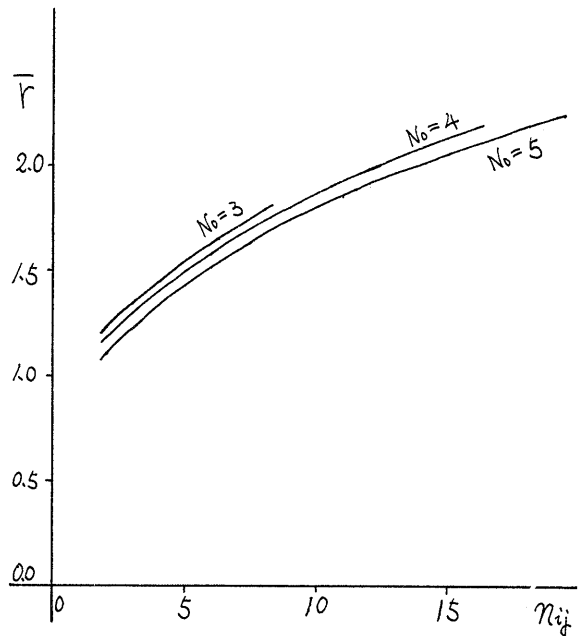


図1 平均距離:  $\bar{r} = f_{\bar{r}}(N_{ij})$

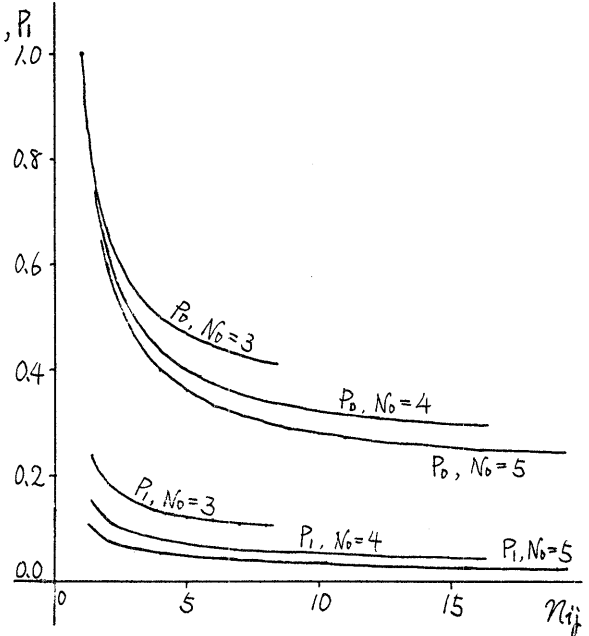


場合に分けるなど、重みのつけかた  $P_0, P_1$  を改善することが考えられる。

また、 $W_1, W_2, W_3$  について値を求めるためには、 $W_2$  をいくつかの場合に分けるとしても、上で示したように適当な  $n$  を定めることにより、数値計算で各々の値を求めることができる。

#### 4. 設計システムの実現について

四2で表わされた重みを、システムとして実現するためには、かなり簡単にすることがある。ここでは、 $N_0 = 4 \sim 5$  であることを予想して、 $P_0, N_0 = 4$  と  $P_1, N_0 = 4$  で全体を代表させ、さらに各々を量子化し、各  $N_{ij}$  の点で標本化することにする。量子化の幅は、 $0.05 \sim 0.1$  の間で、重みの意味が十分に発揮でき、かつ、処理が容易になるものを適当に選ぶことにする。このことにより、Naucierが三つの場合に分けて重みを表わしたのに対して、ここでは、場合として分けられる数が  $7 \sim 9$  となる。



四2 遷移確率:  $P_0(N_{ij}), P_1(N_{ij})$

また、実際に使用するために、次のような機能を付加している。

i) direct edge を指定する。

特に direct transition で実現したい状態遷移を指定する。その結果、一部だけ direct transition が必要であるような順序機械を実現する場合、この状態割当てを行なうと、実際問題として Single Transition Time Assignment と同等の性能が、少ない状態変数で(素子数が少ない)実現できる場合がある。

ii) 中間状態の数を制限する。

中間状態の数は、状態遷移に必要な時間と比例関係にあり、この数があまり大きくなることはさけなくてはならない。

iii) free running を含める。

遷移する道を指定するとき、critical race の生じない 2 bit 以上の遷移が可能な場合は、その部分を free running として中間状態を減らす。

なお、この順序回路自動設計システムは、設計言語 ADL<sup>3)</sup> を用いて実現中である。

#### 5. 結言

Naucierにより示された状態割当てのアルゴリズムを実現する上で指摘された問題点の一つとして、edgeにつける重みについて考察を行ない、数値計算で重みを求めるためのアルゴリズムを示した。その結果、Naucierの重みのつけかたにおける問題点が明らかになるとともに、数値計算で重みの大きさが求められることになった。

また、重みのつけかたを改善する方法としては、重みを表わすための場合分け

は、Saucierが  $W_1, W_2, W_3$  と三つの場合であるのに対して、この教正 7~9 に増すことが良いと思われる。

謝辞:

自動設計システムの実現に際し、御協力をいただいた大学院学生、山下哲男君ならびに、いろいろ御検討をいただいた相模研究室の諸氏に感謝します。

参考文献:

- [1] G. Saucier, "State Assignment of Asynchronous Sequential Machines Using Graph Techniques", IEEE Trans., C-21, 3, PP. 282-288, March 1972.
- [2] J.H. Tracey, "Internal state assignments for asynchronous sequential machines", IEEE Trans., EC-15, PP. 551-560, Aug. 1966.
- [3] M. Tokoro, "A Design Language ADL and its Application to Logic Design", Proc. 1st USA-Japan computer conference, 1972.